

## بررسی مُرفولوژی سطح و خواص مکانیکی و حرارتی ماده‌ی مرکب پلی‌آمید ۶-آلومینای گاما بهبود یافته با

### کوپلی‌مر اتیلن اکتین گرفت شده با مالئیک اندیرید\*

فاطمه السادات حسینی<sup>(۱)</sup> سهیل سمیعی<sup>(۲)</sup> محمد رحیم واقعی جهرمی<sup>(۳)</sup> ابراهیم احمدلو<sup>(۴)</sup>

**چکیده** پلی‌آمید‌ها از جمله پلاستیک‌های مهندسی هستند که کاربرد بسیار وسیعی در صنایع مختلف دارند. با استفاده از پرکننده‌های معادنی، می‌توان خواص مکانیکی و حرارتی این پلاستیک‌ها را بهبود داد. این تحقیق، در راستای بهبود خواص پلی‌آمید انجام شده است. در این مقاله، پلی‌آمید ۶- $\gamma\text{-Al}_2\text{O}_3$ -۷ بهبود یافته با کوپلی‌مر اتیلن اکتین گرفت شده با مالئیک اندیرید با میزان‌های ۵، ۱۰ و ۱۵ درصد وزنی از پودر آلومینا به‌کمک دستگاه روزن‌رانی با دو مارپیچه سنتز شد. خواص مکانیکی و حرارتی و مُرفولوژی سطحی نمونه‌های ماده‌ی مرکب بررسی شد. نتایج نشان دادند که استحکام کششی و مقاومت به ضربه‌ی پلی‌آمید ۶-آلومینای گاما بهتری با استفاده از آلومینای گاما و اتیلن اکتین کوپلی‌مر پیوند شده با مالئیک اندیرید (EOC-g-MAH) بهبود می‌یابد. بررسی مُرفولوژی نمونه‌ها با استفاده از میکروسکوپ الکترونی رویشی (SEM) نشان داد که توزیع مناسبی از ذارت آلومینا در زمینه‌ی پلی‌آمید وجود داشته است. این همگنی، ناشی از اختلاط مناسب در دستگاه روزن‌رانی با دو مارپیچ که نیروی برشی بالایی را اعمال می‌کند، بوده است. خواص حرارتی نمونه‌ها با استفاده از آزمون وزن‌سنگی حرارتی (TGA) بررسی شد. نتایج نشان دادند که با افزایش میزان آلومینا، مقاومت و تح承یب حرارتی افزایش می‌یابد.

**واژه‌های کلیدی** پلی‌آمید ۶، آلومینای گاما، کوپلی‌مر اتیلن اکتین، خواص مکانیکی، خواص حرارتی، مُرفولوژی سطحی.

## The Study of Surface Morphology and Thermal and Mechanical Properties of Polyamide 6-Gamma Alumina Composite Modified with Ethylene Octene Copolymer Grafted by Maleic Anhydride

F. S. Hosseini    S. Sameie    M. R. Vaseghi Jahromi    E. Ahmadloo

**Abstract** Polyamides are engineering plastics that have many applications in different industries. Using mineral fillers, the thermal and mechanical properties of these plastics can be improved. This research has been conducted in order to improve the properties of polyamide. In this paper, Polyamide 6- $\gamma\text{-Al}_2\text{O}_3$  modified with ethylene octene copolymer and grafted by maleic anhydride was synthesized using a double-screw extruder. The weight percents of alumina powder were considered to be 5, 10 and 15%. The mechanical and thermal properties as well as the morphology of the composite samples were examined. It was observed that the tensile strength and impact resistance of polyamide 6-gamma-alumina are improved using the gamma-alumina and EOC-g-MAH, respectively. The study of morphology of the composite samples with scanning electron microscope (SEM) also showed that there exists a favorable distribution of alumina particles in the polyamide matrix so that this homogeneity was considered to be due to the appropriate mixing stage which was conducted within the double-screw extruder with the application of high shear stresses. Thermal properties of the composite samples were investigated using TGA thermal analysis and the results showed that the resistance and thermal degradation of the samples increase with an increase in the amount of alumina used.

**Keywords** Polyamide 6,  $\gamma$ -Alumina, Ethylene Octene Copolymer, Mechanical properties, Thermal properties, Surface morphology.

\* نسخه‌ی نخست مقاله در تاریخ ۹۴/۱/۲۶ و نسخه‌ی پایانی آن در تاریخ ۹۲/۳/۲۶ به دفتر نشریه رسیده است.

(۱) نویسنده مسئول، دانش آموخته کارشناسی ارشد، واحد داراب، دانشگاه آزاد اسلامی، داراب.

(۲) استادیار گروه مهندسی پلی‌مر، واحد داراب، دانشگاه آزاد اسلامی، داراب.

(۳) استادیار گروه مهندسی پلی‌مر، واحد شیراز، دانشگاه آزاد اسلامی، شیراز.

(۴) دانش آموخته کارشناسی ارشد، واحد داراب، دانشگاه آزاد اسلامی، داراب.

می‌بخشد. نکته‌ی قابل توجه این است که باید توازنی برای استحکام و چقرمگی ایجاد شود تا ماده‌ی مرکب چقرمه شود و استحکام کششی مناسبی پیدا کند. با این حال، در ماده‌ی مرکب سه جزئی که شامل ترمопلاستیک، پرکننده‌ی معدنی و بهبود دهنده‌ی مقاومت به ضربه می‌باشد، وجود جزء بهبود دهنده‌ی مقاومت به ضربه کمیکسی با ساختار ریزی ایجاد می‌کند که به بهبود سازگاری بین ترمопلاستیک و پرکننده‌های معدنی و همچنین، سازگاری بین بهبود دهنده‌ی مقاومت به ضربه و زمینه‌ی پلی‌مری کمک می‌کند.

کوپلیمر اتیلن اکتین (EOC) یک پلاستومر پلی‌ألفینی جدید است که اخیراً توسط شرکت اگرانمیل و با نام تجاری اگرکت عرضه شده است. این پلاستومرهای ألفینی با استفاده از کاتالیزور متالوسن با خواص الاستومری منحصر به فرد تولید شده است. در مقایسه با الاستومرهایی مانند الاستومر اتیلن پروپیلن دی‌إن‌مونومر (EPDM)، کوپلی‌مر اتیلن اکتین، فراوری مناسب‌تر، اختلاط آسان‌تر و پراکنده‌گی بهتر با ترمопلاستیک‌های دیگر حاصل می‌شود [7,8]. این کوپلی‌مر با توجه به ساختار ألفینی که دارد، در مقایسه با پلاستیک‌های مهندسی دیگر دارای گروه‌های قطبی مانند پلی‌آمید، سازگاری بیشتری با ترمопلاستیک‌های ألفینی دارد.

به عنوان مثال، واهیت و همکاران [7]، کوپلی‌مر اتیلن اکتین را به عنوان عامل چقرمه کننده برای تولید نانوماده‌ی مرکب چقرمه شده‌ی PA6/PP به کار برده‌اند. نتایج آن‌ها نشان می‌دهد که افزودن کوپلی‌مر اتیلن اکتین به ماده‌ی مرکب موجب افزایش چقرمگی محصول می‌شود، اما به دلیل اختلاف قطبی شدن بین PA6 و کوپلی‌مر اتیلن اکتین، سازگاری کاهش می‌یابد که این خود محدودیت برای استفاده از این کوپلی‌مر ایجاد می‌کند. برای بهبود سازگاری پلاستومرهایی مانند اتیلن اکتین کوپلی‌مر، آنرا با مالئیک اندیزید پیوند می‌زنند تا میزان قطبی بودن آن‌ها افزایش یابد. الاستومرهای مالئیتی شده از جمله EPR-g-MAH

## مقدمه

پلی‌آمیدها از جمله ترموملاستیک‌های مهندسی مورد توجه در صنایع هستند که با خواصی مانند سخت‌پایی مناسب، ضریب انبساط حرارتی پایین و ویژگی‌های مناسب عایق‌کاری، به‌طور گسترده در بسیاری از کاربردها به کار می‌روند [1]. پرکننده‌های معدنی مانند خاک رس، تالک، دانه‌های شیشه و اکسید آلومنیم می‌توانند به ترموملاستیک‌های تجاری افزوده شوند و خواص آن‌ها را بهبود بخشیده و قیمت نهایی محصول را کاهش دهند. به عنوان نمونه، مدول کشسان و مقاومت به حرارت این پلی‌مرها با به‌کارگیری فازهای سرامیکی در ابعاد میکرونی و نانومتری [2]، بهبود می‌یابند، اما، ترکیب این نمونه از پرکننده‌ها با زمینه‌ی پلی‌مری، معمولاً به کاهش شدید مقاومت به ضربه و ازدیاد طول تا شکست منجر می‌شود [1,3]. از این‌رو، برای توازن خواص مکانیکی باید از افزودنی‌های دیگر به منظور بهبود خواص نهایی محصول استفاده کرد. مثلاً چاو و همکاران در تحقیق خود، از نانوخاک رس برای بهبود خواص مکانیکی آلیاژ PA6/PP استفاده کرده‌اند و به این ترتیب، افزایش مدول کشسان و استحکام و کاهش چقرمگی نانوماده‌ی مرکب حاصل را گزارش کرده‌اند. برای جلوگیری از کاهش چقرمگی، از مواد بهبود دهنده‌ی مقاومت به ضربه در نانومواد مرکب زمینه پلی‌مری استفاده می‌شود. در این مطالعه، با به‌کارگیری بهبود دهنده‌ی مقاومت به ضربه نوع MAH-g-PP، استحکام کششی از حدود ۳۹ MPa به ۵۰ MPa افزایش یافت و ازدیاد طول تا شکست به میزان ۱/۵ درصد بهبود یافت [4].

از جمله‌ی این بهبود دهنده‌ها، الاستومرهایی مانند کوپلی‌مر پلی‌اتیلن-پروپیلن پیوند شده با مالئیک اندیزید (EPR-g-MAH) و لاستیک استایرین اتیلن SEBS-SEBS-g-MAH بیشتر استفاده شده است [5,6]. بهبود دهنده‌های مقاومت به ضربه در واقع مقاومت به ضربه را در نمونه‌های ماده‌ی مرکب بهبود

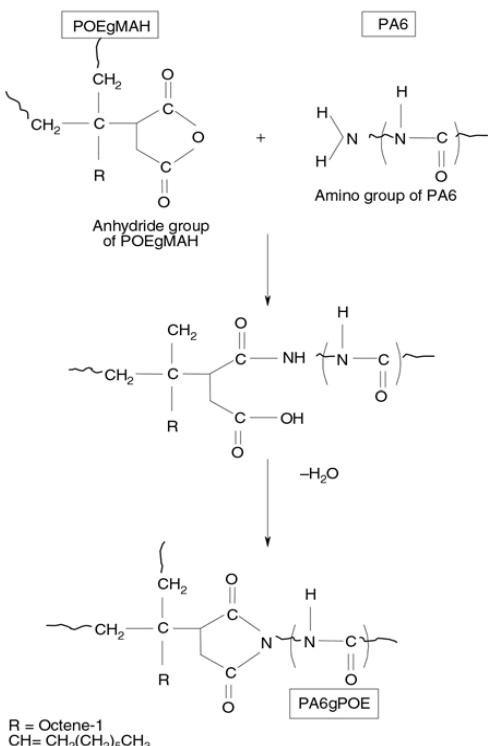
۶- آلومینا را از طریق پلیمرسازی درجا مطالعه کرده‌اند [10]، اما چقرمگی این نوع ماده‌ی مرکب و چگونگی تهیه‌ی آن با حداقل ۱۰ درصد پودر آلومینا از طریق آلیاژسازی مذاب، مطالعه نشده است و یا کمتر به آن پرداخته شده است. پرکننده‌ها در مقیاس نانو گران هستند و بنابراین، تحقیقات روی ماده‌ی مرکب پلی‌آمید چقرمه با پودر آلومینا در مقیاس میکرونی، به دلیل کاهش هزینه، ضروری به نظر می‌رسد. هدف از انجام این تحقیق، تولید ماده‌ی مرکب پلی‌آمید ۶-آلومینا با استحکام، چقرمگی و پایداری حرارتی مناسب به کمک فرایند ذوب که دارای کاربرد صنعتی بسیاری است، می‌باشد. در اولین بخش از این پژوهش، به اثر بخشی آلومینا به عنوان پرکننده و تقویت کننده پرداخته شده است و در مرحله‌ی دوم، تأثیر کوپلی‌مراتیلن اکتین مالئیتی شده (MAH-g-EOC) به عنوان بهبود دهنده‌ی مقاومت به ضربه برای ماده‌ی مرکب آلومینا/PA6 بررسی می‌شود و مُرفولوژی سطح، خواص مکانیکی و پایداری حرارتی آن به ترتیب با استفاده از میکروسکُپ الکترونی روبیشی (SEM)، تجزیه و تحلیل مکانیکی و وزن‌سنگی حرارتی (TGA) مطالعه شده است.

### مواد و روش‌های آزمایش

در این تحقیق، پلی‌آمید ۶ با چگالی  $g/cm^3$  ۱/۱۴ و شاخص جریان مذاب برابر با  $kg/g/10\text{ min}$  ۴/۶ در دمای  $^{\circ}\text{C}$  ۲۳۰ از شرکت پلاستیک‌های مهندسی تیسان ترکیه تهیه شده است. بهبود دهنده‌ی مقاومت به ضربه از نوع اتیلن اکتین کوپلی‌مر (EOC) با نام تجاری اگرکت ۰۲۰۳ با چگالی  $g/cm^3$  ۰/۸۷ و شاخص جریان مذاب برابر با  $kg/g/10\text{ min}$  ۳ از کمپانی اکسون مبیل آمریکا خریداری شده است. سازگار کننده‌ی پایه اتیلن با چگالی کم، گرافت شده با ۱ درصد وزنی مالئیک انیدرید (PE-g-MAH) و با شاخص جریان مذاب برابر با  $kg/g/10\text{ min}$  ۱/۷ از شرکت کرانگین ایران و پودر  $\text{Al}_2\text{O}_3$  (آلومینای گاما) به صورت پودر بهبود نیافته با مساحت سطح ویژه برابر با  $m^2/g$  ۱۹۰-۱۲۰، قطر میانگین حدود ۶۳ میکرون و چگالی  $g/cm^3$  ۳/۹۴ از شرکت مِرک آلمان تهیه شد.

EPDM-g-MAH و SEBS-g-MAH ترمопلاستیک‌هایی مانند پلی‌اتیلن پیوند زده شده توسط انیدرید مالئیک، می‌توانند هم به عنوان بهبود دهنده‌ی مقاومت به ضربه و هم به عنوان سازگار کننده برای آلیاژ پلی‌آمید/ پلی‌آلفین عمل کنند [5,6]. در واقع، مالئیک انیدرید در اثر واکنش با گروه انتهایی پلی‌آمید، کوپلی‌مر پیوندی تشکیل می‌دهد و نقش عامل جفت کننده را بازی می‌کند. این عامل، پراکنده‌گی فاز آلفینی غیر قطبی را در زمینه‌ی پلی‌آمید قطبی را بهبود می‌بخشد (شکل ۱).

مطابق با گزارش تحقیقات لیم و همکاران [9]، چقرمگی شکست نانومواد مرکب سه‌تایی، پلی‌آمید / الاستومر پلی‌اتیلن اکتین (نوع دیگری از کوپلی‌مر اتیلن اکتین) به همراه کوپلی‌مر اتیلن اکتین گرافت شده با انیدرید مالئیک، به میزان قابل توجهی افزایش یافته است.



شکل ۱ واکنش شیمیایی بین پلی‌آمید و پلی‌اکتین کوپلی‌مر پیوند شده با مالئیک انیدرید [7]

برخی از محققان تهیه‌ی نانوماده‌ی مرکب پلی‌آمید

### تعیین خواص نمونه‌ها

آزمون‌های مکانیکی. آزمون کشش بر اساس استاندارد ASTM D638 در دستگاه Zwick 1485 در دمای محیط با سرعت ۵۰ میلی‌متر بر دقیقه و آزمون ضربه نوع آیزود با استفاده از نمونه‌های شیاردار بر اساس استاندارد ASTM 256 در دستگاه ضربه‌ی نوع تویوسیکی در دمای محیط انجام شد.

بررسی رفتار حرارتی. برای بررسی تأثیر میزان آلومینای گاما بر رفتار حرارتی آلیاژهای ۶، ۷، ۸، ۹، ۱۰ (جدول ۱)، آزمون وزن‌سنجی حرارتی (با استفاده از دستگاه مدل Q50) در محلوده دمایی  $25^{\circ}\text{C}$  تا  $250^{\circ}\text{C}$  و با سرعت گرمایش  $10^{\circ}\text{C}/\text{min}$  و تحت گاز نیتروژن انجام شد. نمونه‌ها به ترتیب دارای ۰، ۵، ۱۰ و ۱۵ درصد وزنی پودر آلومینای گاما بودند.

**بررسی مورفولوژی سطح.** مُرفولوژی سطح نمونه‌های آلیاژ شده با استفاده از میکروسکوپ الکترونی روبشی (مدل فیلیپس) بررسی شد. نمونه‌ها در نیتروژن مایع شکسته شدند و پس از پوشش دهی سطح شکست با طلا، مطالعات میکروسکوپی انجام شد. تصویربرداری تحت ولتاژ ۲۰ کیلوولت و با بزرگنمایی ۱۰۰۰ و ۲۰۰۰ برابر انجام شد.

### تهیه نمونه‌ها

برای آماده‌سازی نمونه‌های ماده‌ی مرکب، ابتدا پلی آمید ۶ و پودر آلومینای گاما برای حذف رطوبت جذب شده درون کوره در دمای  $80^{\circ}\text{C}$  به مدت زمان ۶ ساعت خشک شد و سپس، مجموعه مطابق با ترکیب شیمیایی ارائه شده در جدول (۱)، مخلوط شد و عمل آلیاژسازی با استفاده از دستگاه روزنرانی دومارپیچ هم‌سان‌گرد (ساخت شرکت آلمانی کالین) با نسبت طول به قطر ۴۰ انجام گرفت. دمای فرایند درون دستگاه روزنرانی از ابتدا تا محل قالب برابر با  $210^{\circ}\text{C}$  تا  $240^{\circ}\text{C}$  و سرعت چرخش مارپیچ حدود ۲۰۰ دور در دقیقه تنظیم شد. برای حذف هوای باقی‌مانده حین آلیاژسازی، پمپ خلاء در دستگاه روزنرانی قرار گرفت. در ادامه، نمونه‌های روزنرانی و گرانول شده و نمونه‌های آزمون کشش و ضربه مطابق با استاندارد ASTM با استفاده از دستگاه قالب‌گیری تزریقی‌های تیان (ساخت چین) آماده شدند. برای تمام نمونه‌ها، شرایط تزریق عبارت بود از: دمای تزریق بین  $210^{\circ}\text{C}$  تا  $240^{\circ}\text{C}$ ، دمای قالب برابر با  $70^{\circ}\text{C}$  و فشار تزریق برابر با  $50 \text{ MPa}$ . در نهایت، نمونه‌ها در کوره‌ی خلاء در دمای  $70^{\circ}\text{C}$  به مدت ۲ ساعت خشک شدند و پس از آن، در محلی خشک در دمای محیط (دمای  $27 \pm 2^{\circ}\text{C}$ ) نگه‌داری شدند.

جدول ۱ ترکیب شیمیایی مواد اوئلیه در نمونه‌های ماده‌ی مرکب\*

شماره‌ی نمونه	نام گذاری نمونه	PE-g-MAH (wt.%)	اتیلن اکتین کوپلی‌مر (wt.%)	$\gamma\text{-AL}_2\text{O}_3$ (wt.%)	پلی آمید ۶ (wt.%)
۱	PA/F5	-	-	۵	۹۵
۲	PA/F10	-	-	۱۰	۹۰
۳	PA/F15	-	-	۱۵	۸۵
۴	PA/M5/E5	۵	۵	-	۹۰
۵	PA/M5/E10	۵	۱۰	-	۸۵
۶	PA/M5/E15	۵	۱۵	-	۸۰
۷	PA/M5/E20	۵	۲۰	-	۷۵
۸	PA/F5/M5/E15	۵	۱۵	۵	۷۵
۹	PA/F10/M5/E15	۵	۱۵	۱۰	۷۰
۱۰	PA/F15/M5/E15	۵	۱۵	۱۵	۶۵

\* عالم M، F، PA و E به ترتیب نشان‌دهنده‌ی پلی آمید ۶، آلومینای گاما، مالتیک اپرید گرافت شده و کوپلی‌مر اتیلن اکتین می‌باشند.

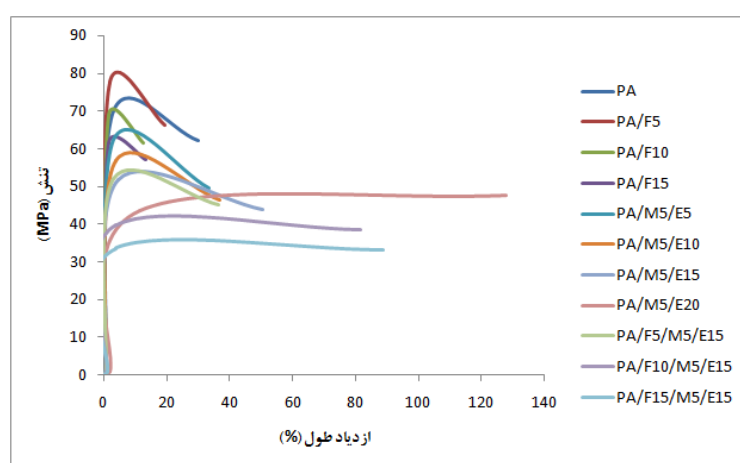
ضریب بهخوبی پراکنده شود، می‌تواند به طور مؤثری به عنوان عامل توزیع تنش عمل کند و کرنش شکست در فاز اصلی را بهبود بخشد. افزون بر این، تأثیر میزان آلمینیا بر پلی‌آمید بهبود یافته و بهبود نیافته، در شکل (۴) نشان داده شده است.

با بررسی نتایج ارائه شده در جدول (۲) و شکل (۴)، می‌توان مشاهده کرد که در نمونه‌های حاوی پرکننده‌ای آلمینیایی گاما و پلی‌آمید ۶ بهبود نیافته، استحکام و ازدیاد طول تا نقطه‌ی شکست کمتر از پلی‌مر خالص است که علت آن، درگیری زنجیرهای پلی‌مری با آلمینیایی گاما است. این برهم‌کنش، از کشیدگی زنجیرهای پلی‌مر جلوگیری می‌کند و در نتیجه، ازدیاد طول تا نقطه‌ی شکست کاهش می‌باید. افزایش میزان آلمینیا تا ۱۵ درصد وزنی، با پدیده‌ی کلوخای شدن همراه شده است. بنابراین، نمونه‌ی حاوی ۱۵ درصد آلمینیا، ازدیاد طول کل کمتری را در مقایسه با نمونه‌ی حاوی ۱۰ درصد آلمینیا نشان داده است. افزون بر این، افزایش میزان ازدیاد طول تا نقطه‌ی تسلیم در مواد مرکب حاوی آلمینیا را می‌توان به بهبود ویژگی‌های کشناسانی زنجیرهای پلی‌مری در حضور جامد کشسان آلمینیا نسبت داد.

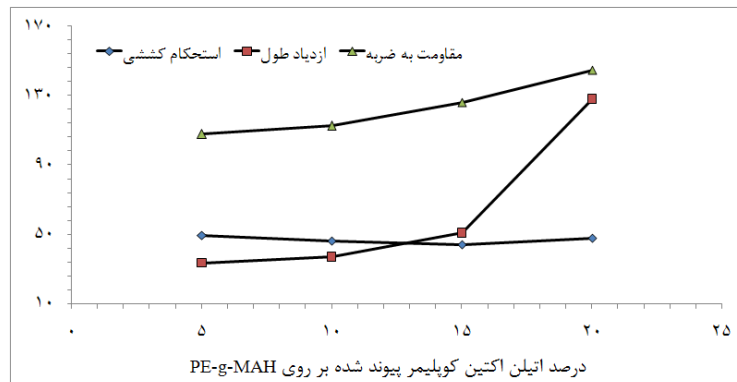
## بحث و نتایج خواص مکانیکی

خواص مکانیکی مواد مرکب پلی‌آمید ۶/آلومینیایی گاما بهبود یافته و بهبود نیافته، در شکل‌های (۲)، (۳) و (۴) ارائه شده‌اند.

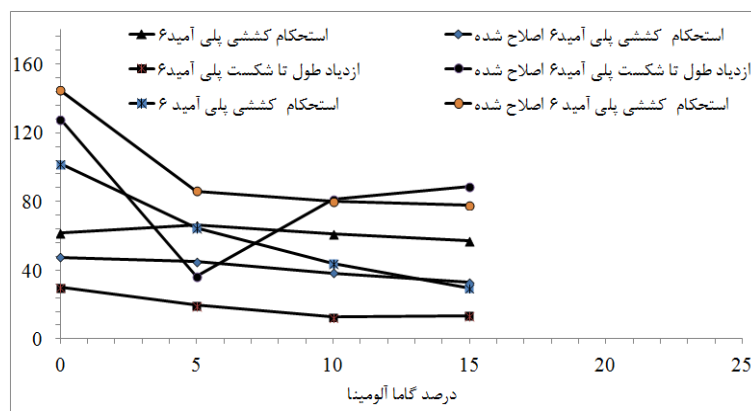
در شکل (۲)، نمودار تنش-کرنش همه‌ی نمونه‌های ماده‌ی مرکب پلی‌آمید ۶/آلومینیایی گاما در حالت بهبود یافته و نیافته ارائه شده است. شکل (۳)، تأثیر کوپلی‌مر اتیلن اکتیلن مالئیت شده بر خواص مکانیکی پلی‌آمید ۶ خالص را نشان می‌دهد. همان‌گونه که در این شکل و جدول (۲) مشاهده می‌شود، با به کارگیری بهبود دهنده‌ی مقاومت به ضربه، (EOC-g-MA)، استحکام کششی (شکل (۲)) و مدول یانگ (جدول (۲)) کاهش یافته‌اند، به طوری که بیشترین کاهش مربوط به بالاترین میزان بهبود دهنده است. در واقع، این کاهش به علت مدول یانگ پایین ماده‌ی بهبود دهنده است که منجر به ازدیاد طول بیشتر شده است. افزون بر این، در شکل (۳)، مقاومت به ضربه با افزایش میزان بهبود دهنده افزایش یافته است که دلیل آن، انتقال بهتر تنش در طول سطح مشترک ترکیب‌ها می‌باشد. در واقع، اگر فاز بهبود دهنده‌ی مقاومت به



شکل ۲ نمودارهای تنش-کرنش مواد مرکب پلی‌آمید ۶/آلومینیایی گاما بهبود یافته و بهبود نیافته



شکل ۳ تأثیر کوپلیمر اکتین کوپلیمر پیوند شده بر روی PE-g-MAH



شکل ۴ تأثیر میزان آلومینیا بر پلی آمید بهبود یافته و بهبود نیافته

جدول ۲ خواص مکانیکی مواد مرکب پلی آمید/آلومینیای گاما قبل و پس از بهبود یافتن

نام گذاری نمونه	استحکام کششی تا نقطه شکست (MPa)	استحکام کششی تا تسلیم (MPa)	از دیاد طول تا تسلیم (%)	از دیاد طول (%)	مدول کشسان (GPa)	مقاومت به ضربه (J/m²)
پلی آمید ۶	۶۲	۷۰	۲/۹	۳۰	۲/۳	۱۰۲
PA/F5	۶۷/۳	۷۷/۷	۲/۱	۱۹/۵	۲/۸	۶۴/۷
PA/F10	۶۱/۴	۶۸/۹	۱/۷	۱۲/۶	۲/۴	۴۴/۱
PA/F15	۵۷/۲	۶۱/۶	۱/۷۲	۱۳/۴	۲/۲	۲۹/۸
PA/M5/E5	۴۹/۵	۶۳	۲/۵	۳۳/۳	۱/۹	۱۰۷/۵
PA/M5/E10	۴۷/۳	۵۶/۸	۳/۸	۳۶/۸	۱/۵	۱۱۲/۴
PA/M5/E15	۴۴	۵۱/۸	۴/۷	۵۰/۶	۱/۳	۱۲۶
PA/M5/E20	۴۷/۶	۴۳/۶	۱۱/۵	۱۲۷/۸	۰/۵	۱۴۴/۶
PA/F5/M5/E15	۴۵	۵۲	۳/۲	۳۶/۴۳	۱/۴	۸۶
PA/F10/M5/E15	۳۸/۴	۳۹/۶	۳/۷	۸۱/۴	۱/۰۷	۸۰
PA/F15/M5/E15	۳۳	۳۳/۶	۳/۹	۸۸/۸	۰/۸	۷۷/۸

در صد وزنی منجر به افزایش استحکام کششی و مدول کشسان شده است. دلیل این افزایش این است که اگر چه کوپلیمر اتیلن اکتین بهبود دهنده مقاومت به ضربه است و بهدلیل تشکیل فاز الاستومری درون زمینه در کرنش‌های بالا مانع از شکست می‌شود و کاهش مدول کشسان نهایی ماده‌ی مرکب را بهمراه دارد، اما از سوی دیگر، با استفاده از سازگارکننده‌هایی چون مالئیک اندیرید، اتصال بهتری بین فاز الاستومری اتیلن اکتین کوپلیمر و پلی‌آمید را به وجود می‌آورد. در واقع، این بهبود در استحکام کششی به علت شکست شبکه‌ی ذرات و جریان ذرات پرکننده درون ساختار زمینه‌ی پلی‌مر به شکل لایه‌های آلومینا است. این پدیده را می‌توان برای مقاومت به ضربه‌ی ماده‌ی مرکب پلی‌آمید ۶ هم مشاهده کرد. بهبود از دیاد طول و استحکام ضربه در این حالت را می‌توان به علت اتصال دوقطبی-دوقطبی و ایجاد پیوند هیدروژنی بین مالئیک اندیرید و گروه انتهاهای پلی‌آمید و اتصال دوقطبی-دوقطبی با پودر آلومینا دانست. این دو عامل باعث افزایش مقاومت به ضربه و از دیاد طول ماده‌ی مرکب شده‌اند.

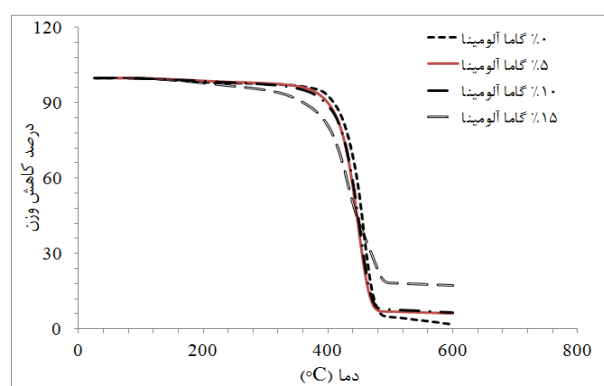
### خواص حرارتی

پایداری حرارتی پلی‌آمید ۶ بهبود یافته در حضور پرکننده و عدم حضور پرکننده، به روش وزن‌سنجی حرارتی (TGA) بررسی شد و نتایج در شکل (۵) ارائه شده‌اند.

افرون بر این، از دیاد طول تا نقطه‌ی شکست در حضور بهبود دهنده و عامل نرم کننده روندی متفاوت را نشان می‌دهد. در حضور بهبود دهنده و نرم کننده با حضور ۵ درصد ماده‌ی پرکننده، از دیاد طول تا نقطه‌ی شکست کاهش یافته است. این کاهش نشان دهنده‌ی میزان بالای برهم‌کنش بین پلی‌مر پیوند شده و پرکننده‌ی بهبود یافته است. اگر چه با افزایش میزان پرکننده تا ۱۰ و ۱۵ درصد، کلوخه‌ای شدن ذرات پرکننده و در نتیجه، آزادی بیشتر زنجیرهای پلی‌مری مشاهده می‌شود و از دیاد طول تا نقطه‌ی شکست افزایش می‌یابد.

همان‌طور که در شکل (۴) مشاهده می‌شود، استحکام کششی و مدول کشسان پلی‌آمید ۶ خالص و پلی‌آمید بهبود یافته با EOC-g-MA با افزودن ۵ درصد وزنی پرکننده‌ی آلومینای گاما افزایش یافته است. با افزایش میزان پرکننده به میزانی بیش از ۵ درصد وزنی، استحکام کششی و مدول کشسان کاهش یافته‌اند. این کاهش را می‌توان به کلوخه‌ای شدن ذرات ارتباط داد. با این‌حال، به ازای میزان بالاتر آلومینا (۵ و ۱۰ درصد وزنی)، عدم توزیع ذرات موجب تشکیل ساختارهای متراکم شده می‌شود که این مانع از بهبود خواص مکانیکی خواهد شد. این بیان‌گر عدم توزیع مناسب ذرات پرکننده است.

همان‌گونه که در شکل (۴) مشاهده می‌شود، افزوه شدن پرکننده‌ی آلومینا در زمینه‌ی پلی‌آمید تا ۵



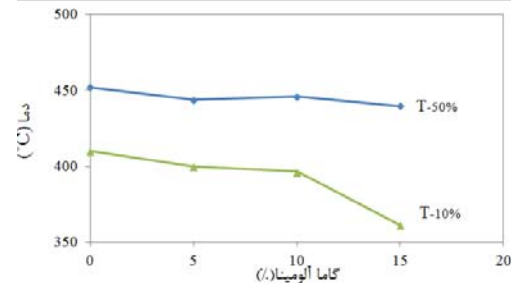
شکل ۵ کاهش وزن نمونه‌های با درصدهای ۰، ۵، ۱۰، ۱۵ پودر آلومینای گاما با تحلیل گر ترموگراوی متری مدل Q50

## مورفولوژی سطح

شکل (۷)، توزیع مناسب ذرات آلومینای گاما در زمینه‌ی پلی‌آمید ۶ را نشان می‌دهد. تصویرهای ۷-الف و ۷-ب، تصویرهای SEM از پلی‌آمید بهبود یافته و چقرمه شده توسط کوپلی مر اتیلن اکتین پیوند زده شده با مالئیک اندیزید را نشان می‌دهند. برای آلیاژ بدون پرکننده، سطح شکست نمونه‌ها نسبتاً صاف به نظر می‌رسد. به دلیل وجود سازگار کننده‌ی مالئیک در این آلیاژ، اختلاط بسیار مناسبی بین اجزاء صورت گرفته است، به طوری که تشخیص فاز پراکنده از فاز زمینه مشکل است. به عبارت دیگر، فاز پراکنده در آلیاژ بدون پرکننده کاملاً توسط فاز زمینه پوشیده شده و چسبندگی بسیار مناسبی بین این دو فاز از طریق سازگار کننده ایجاد شده است.

در تصویرهای SEM در شکل ۷، پ تاخ، می‌توان مشاهده کرد که با افزودن تدریجی فاز پرکننده به آلیاژ اوئلیه، سطح شکست نمونه‌ها به تدریج زبرتر شده است. با افزایش تدریجی غلظت فاز پرکننده، تعداد ذرات پرکننده درون زمینه افزایش یافته که خود سبب زبری سطح شکست شده است. اگر چه تعدادی از حفره‌ها به اندازه‌ی فاز پرکننده که درون زمینه پخش شده‌اند، بر روی سطح شکست نمونه‌ی حاوی ۵ درصد وزنی پرکننده دیده می‌شود، اما به نظر می‌رسد که چسبندگی نسبتاً مناسبی بین ذرات جامد پخش شده درون زمینه و زمینه‌ی اطراف آن‌ها وجود داشته باشد. این حالت در تصویرهای SEM مربوط به نمونه‌های حاوی مقادیر بیشتری از فاز پرکننده صلب، به‌وضوح قابل مشاهده است. حضور فاز مالئیکدار ممکن است دلیل چسبندگی مناسب بین ذرات جامد و زمینه‌ی پلی‌آمیدی باشد. وجود این چسبندگی در فصل مشترک بین ذرات صلب و زمینه‌ی پلی‌آمیدی، سبب انتقال تنش مؤثر از فاز زمینه به فاز جامد پراکنده می‌شود. نتیجه این که تأثیر قابل توجهی بر سایر خواص از جمله خواص مکانیکی در مقیاس درشت حاصل می‌شود که قبلًا به آن‌ها اشاره شد.

همان‌طور که در شکل (۵) مشاهده می‌شود، پایداری حرارتی و تخریب ماده‌ی مرکب پلی‌آمید ۶ با افزودن پودر آلومینای گاما افزایش یافته است. علت این افزایش را می‌توان به وجود ذرات آلومینای گاما و بهبود دهنده‌ی مقاومت به ضربه‌ی پیوند شده با مالئیک اندیزید نسبت داد. به عبارت دیگر، به علت برقراری پیوند فیزیکی قوی و تأثیر متقابل بین ذرات پرکننده و فاز زمینه، این ذرات در بهبود مقاومت حرارتی ماده‌ی مرکب تأثیر دارند.



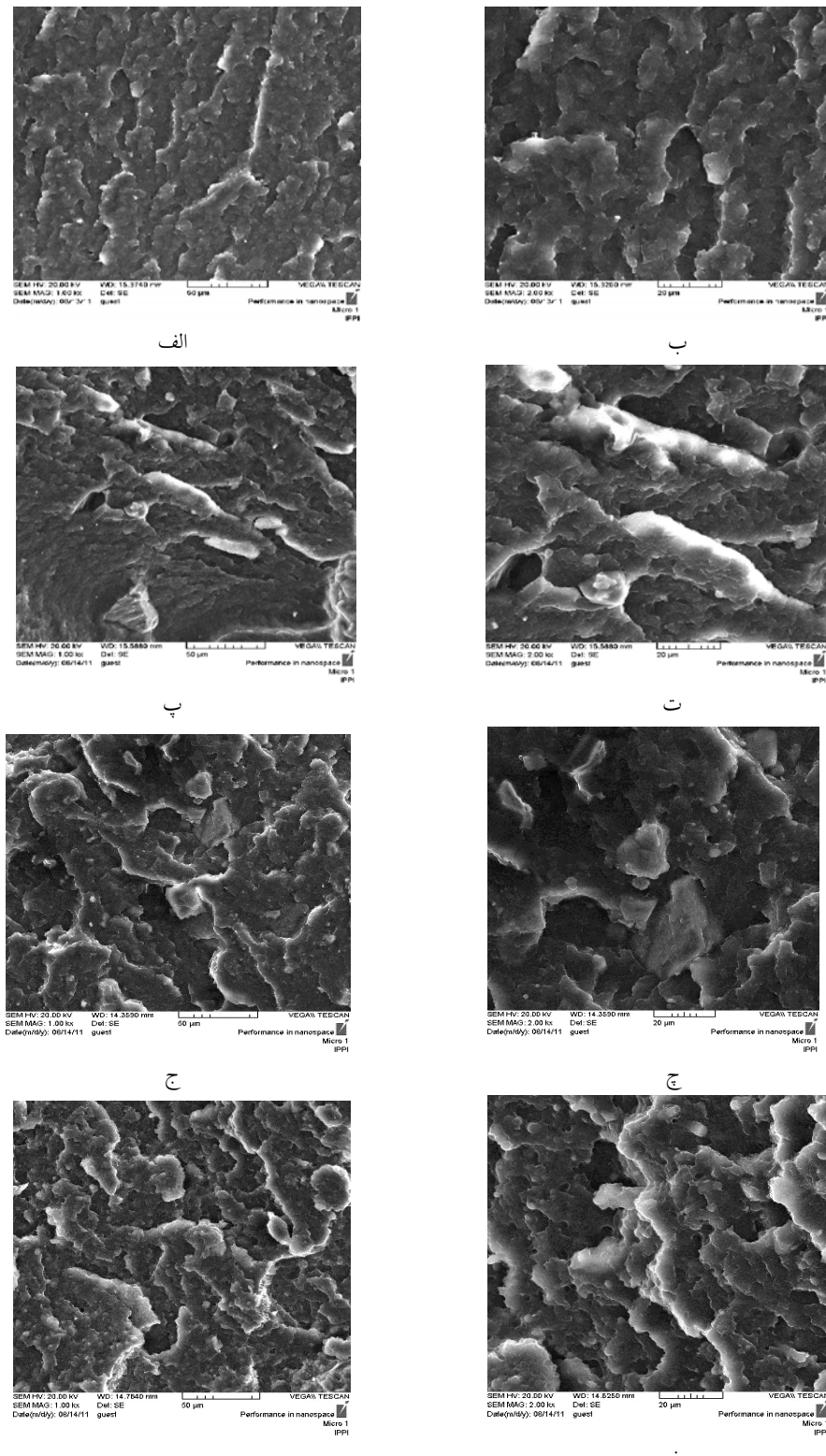
شکل ۶ نمودارهای تغییرات دما بر حسب درصد آلومینای گاما مربوط به کاهش ۱۰ و ۵۰ درصد وزنی نمونه‌ها

در شکل (۶)، نتایج حاصل از آزمون وزن‌سننجی حرارتی برای ۱۰ و ۵۰ درصد تخریب نمونه‌های پلی‌آمید بهبود یافته در حضور میزان‌های مختلف از پودر آلومینای گاما و بدون آن رسم و نتایج حاصل در جدول (۳) آورده شده‌اند.

جدول ۳ دمای ۱۰ و ۵۰ درصد تخریب نمونه‌ها در حضور و عدم حضور پودر آلومینای گاما

میزان آلومینای گاما (درصد)	T-50%	T-10%
۰	۴۵۱/۸۵	۴۰۹/۸۴
۵	۴۴۳/۶۵	۳۹۹/۸۵
۱۰	۴۴۵/۷	۳۹۶/۳۹
۱۵	۴۳۹/۶۱	۳۶۱/۲۲

همان‌طور که در جدول (۳) و شکل (۶) به‌وضوح مشاهده می‌شود، حضور ذرات آلومینای گاما موجب محدود شدن حرکت زنجیره‌ای زمینه‌ی پلی‌مری شده است و به‌این دلیل، کاهش دمای T-10% و T-50% برای نمونه‌های آلیاژ شده در حضور پرکننده را به همراه داشته است.



شکل ۷ تصویرهای SEM از ماده‌ی مرکب پلی‌آمید ۶ بهبود یافته در حضور و عدم حضور ماده‌ی پرکننده. (الف و ب) نمونه‌ی PA با بزرگنمایی بهترتب ۱۰۰۰ و ۲۰۰۰ برابر. (پ و ت) نمونه‌ی PA/F5/M5/E15 با بزرگنمایی بهترتب ۱۰۰۰ و ۱۰۰۰ برابر. (ج و چ) نمونه‌ی PA/F10/M5/E15 با بزرگنمایی بهترتب ۱۰۰۰ و ۲۰۰۰ برابر. (ح و خ) نمونه‌ی PA/F15/M5/E15 با بزرگنمایی بهترتب ۱۰۰۰ و ۲۰۰۰ برابر. مخفف‌های PA, M, F, E, M بهترتب بیان گر پلی‌آمید ۶ پرکننده‌ی آلومنیا، مالیک ایندراید پیوند شده و کوپلی‌مر اتیلن اکتنی می‌باشند.

مدول های کشسان نمونه های با ۱۰ و ۱۵ درصد وزنی پرکننده کمتر به دست آمد.

۳- پایداری حرارتی نمونه های ماده هی مرکب با افزایش میزان پرکننده به میزان کمی افزایش یافت. این افزایش کم به علت حضور فاز سرامیکی و تأثیر ماده بهبود دهنده بود.

۴- تصویرهای SEM، یکنواخت بودن ریزساختار نمونه های ماده هی مرکب پلی آمید با ۵ درصد وزنی پودر آلمینیا گاما را نشان دادند، به طوری که به ازای میزان های بالاتر از این پودر، کلوخه ای شدن ذرات پرکننده رخ داد و ذرات پرکننده به طور کامل توزیع نشدند.

۵- ماده هی مرکب به بود یافته هی پلی آمید ۶ و تقویت شده با آلمینیا گاما که در این تحقیق تولید شد، می تواند به عنوان قطعات مقاوم با استحکام ضربه ای بالا و مقاومت حرارتی خوب در صنایع مختلف به کار رود.

### تشکر و قدردانی

به این وسیله، از کارکنان محترم کارگاه های پلاستیک در دانشگاه آزاد اسلامی واحد داراب، کارشناسان محترم در آزمایشگاه دانشگاه آزاد اسلامی واحد شیراز و سایر کسانی که در پیش برد این تحقیق ما را یاری کرده اند، قدردانی می شود.

### نتیجه گیری

در این مقاله، خواص مکانیکی، حرارتی و مورفولوژی سطح پلی آمید ۶ چقرمه شده و تقویت شده با آلمینیا گاما مطالعه شد و نتایج زیر به دست آمد:

- ۱- به کارگیری کوپلیمر اتیلن اکتین مالئیتیه شده در پلی آمید ۶ نشان داد که کرنش و مقاومت به ضربه پلی آمید ۶ به علت پیوند بین سطحی فاز اصلی پلی آمید و ذرات پراکنده ای اتیلن اکتین کوپلیمر، افزایش می باید. افزون بر این، به دلیل مدول کشسان کم اتیلن اکتین کوپلیمر، افزایش میزان آن استحکام کششی و مدول یانگ را در مقایسه با پلی آمید ۶ کاهش داد.
- ۲- با افزودن پودر آلمینیا تا ۵ درصد وزنی به زمینه پلی آمید، استحکام کششی ماده هی مرکب به بود یافت و استحکام شکست پلی آمید به میزان ۷ درصد افزایش یافت. دلیل این افزایش، خواص بسیار مطلوب پرکننده های سرامیکی و برهم کنش مناسب بین پرکننده و زمینه پلی مری و جهت گیری پرکننده عنوان شد. در نمونه های حاوی بیش از ۵ درصد وزنی پودر آلمینیا درون زمینه، به دلیل از دیاد توده هی ذرات و پدیده کلوخه ای شدن ذرات، استحکام کششی و مدول کشسان کاهش یافتند، به طوری که مدول کشسان نمونه با ۵ درصد وزنی پرکننده به ترتیب  $14/3$  و  $21/4$  درصد از

### مراجع

1. Karrad, S., Lopez-Cuesta, JM., Crespy, A. Influence of a fine talc on the properties of composites with high density polyethylene and polyethylene/polystyrene blends. *Journal of Materials Science* 33, 453-461, (1998).
2. Unal H, "Morphology and mechanical properties of composites based on polyamide 6 and mineral additives", *Materials and Design*, 25, pp 483–487, (2004).
3. Lauke B., "On the effect of particle size on fracture toughness of polymer composites", *Composites Science and Technology*, 68 pp 3365-3372, (2008).

4. Chow W. S., Mohd Ishak Z. A., Karger-Kocsis J., Apostolov A. A., Ishiaku U. S."Compatibilizing effect of maleated polypropylene on the mechanical properties and morphology of injection molded polyamide 6/polypropylene/organoclay nanocomposites", *Polymer*, 44, pp 7427–7440, (2003).
5. Chow, W.S., Ishak Z.A., Kocsis J.K., Apostolov A.A., Ishiaku U.S.: *European Polymer Journal* 41, pp 687-696, (2005).
6. Bai, S .L., Wang G.T., Hiver J.M., G 'Sell, C: *Polymer*. 45, pp 3063-3071, (2004).
7. Wahit M. U., Hassan A. Mohd Ishak Z. A., Rahmat A. R., Abu Bakar A. "Morphology, thermal, and Mechanical behavior of ethylene octene copolymer toughened polyamide 6/polypropylene nanocomposites", *Journal of Thermoplastics Composites Materials*, 19 ,pp 545–567, (2006).
8. Bai S-L., Wang M. "Plastic damage mechanisms of polypropylene/polyamide 6/polyethylene octene elastomer blends under cyclic tension", *Polymer*, 44, pp 6537– 6547, (2003).
9. Lim J.W., Hassan A., Rahmat A.R., Wahit M.U. "Phase Morphology and Mechanical Properties of Rubber-Toughened Polypropylene Nano composites: Effect of Elastomer Polarity", *Polymer-Plastics Technology and Engineering*, 47, pp 411-419, (2008).
10. Xian Jia, Xiaomei Ling, Influence of Al<sub>2</sub>O<sub>3</sub> reinforcement on the abrasive wear characteristic of Al<sub>2</sub>O<sub>3</sub>/PA1010 composite coatings, *Wear* 258, 1342–1347, (2005).

